

УДК 536.46 : 533.6

ОБ ОДНОЙ ПРЕДЕЛЬНОЙ СХЕМЕ РАСПРОСТРАНЕНИЯ  
ПУЛЬСИРУЮЩЕГО ФРОНТА ЭКЗОТЕРМИЧЕСКОЙ РЕАКЦИИ  
В КОНДЕНСИРОВАННОЙ СРЕДЕ

*В. Б. Либрэвич, Г. М. Махвиладзе*

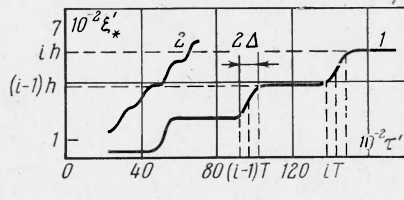
(Москва)

В связи с исследованиями по синтезу различных твердых веществ в волне горения (самораспространяющийся высокотемпературный синтез) [1-3] предлагается модель нестационарного горения безгазовых составов, описывающая релаксационный механизм распространения фронта экзотермической химической реакции в конденсированной системе, образующей тугоплавкие продукты. Определяются период колебаний скорости горения, величина перемещения фронта реакции за время одного колебания и другие характеристики процесса. Проведено сопоставление с результатами численных расчетов.

1. Релаксационный механизм распространения фронта экзотермической химической реакции в конденсированной среде. Численные расчеты [1] показали, что в широкой области определяющих параметров стационарный режим горения, отвечающий распространению фронта реакции с постоянной скоростью, неустойчив, и фронт реакции распространяется автоколебательным образом. Аналитические исследования [4, 5] устойчивости стационарного режима горения безгазовых составов методом малых возмущений также показали существование неустойчивой области. В работе [2] явление автоколебательного режима распространения фронта реакции было обнаружено экспериментально.

Изучение структуры пульсаций скорости горения, проведенное в работе [1] путем численного решения нестационарной системы уравнений, позволило установить, что по мере удаления от кривой нейтральной устойчивости в глубь неустойчивой области амплитуда пульсаций скорости горения увеличивается, а сами колебания носят все более релаксационный характер; длительные депрессии скорости сменяются значительными ее всплесками. При этом пространственно-временные распределения температуры и концентрации свидетельствуют о том, что длительный прогрев некоторой части исходного вещества сменяется быстрым его воспламенением и сгоранием. Численные расчеты [1, 2] показывают, что такой режим горения безгазовых составов устанавливается даже при незначительном удалении от границы устойчивости и является типичным. Зависимость координаты фронта реакции от времени, полученная с помощью численных расчетов, представлена на фиг. 1, взятой из работы [2] (кривые 1 и 2 соответствуют различному удалению от границы устойчивости).

Ниже предлагается предельная модель распространения пульсирующего фронта экзотермической реакции в конденсированном веществе (ра-



Фиг. 1

нее краткое описание ее было дано в [6]). В ней принимается, что после сгорания очередной порции исходного вещества в течение некоторого промежутка времени происходит прогрев новой его порции до тех пор, пока не будет достигнуто условие воспламенения. После этого прогретое вещество быстро сгорает, в результате чего фронт реакции перемещается на некоторое расстояние. Задача состоит в определении величины перемещения фронта реакции и периода колебаний.

**2. Вывод интегрального соотношения, определяющего температуру в зоне химической реакции.** Будем предполагать, что в течение всего процесса горения ширина зоны химической реакции в силу резкой зависимости скорости химической реакции от температуры значительно меньше толщины зоны подогрева (это предположение подтверждается численными расчетами [1,2]).

Тогда зону химической реакции, в которой происходит полное превращение вещества, можно считать поверхностью, разделяющей исходное вещество и продукты горения. Введем связанную с этой поверхностью систему координат (в области  $x < 0$  находится исходное вещество).

Нестационарный процесс распространения тепла в конденсированном веществе слева и справа от зоны химической реакции описывается следующими уравнениями и граничными и начальными условиями:

в области I ( $x < 0$ )

$$(2.1) \quad \frac{\partial \theta_1}{\partial \tau} = \frac{\partial^2 \theta_1}{\partial \xi^2} - v(\tau) \frac{\partial \theta_1}{\partial \xi}$$

$$\tau = \tau_0, \theta_1 = \theta_1^\circ(\xi), \xi = -\infty, \theta_1 = 0, \xi = 0, \theta_1 = \vartheta(\tau)$$

в области II ( $x > 0$ )

$$(2.2) \quad \frac{\partial \theta_2}{\partial \tau} = \frac{\partial^2 \theta_2}{\partial \xi^2} - v(\tau) \frac{\partial \theta_2}{\partial \xi}$$

$$\tau = \tau_0, \theta_2 = \theta_2^\circ(\xi), \xi = 0, \theta_2 = \vartheta(\tau), \xi = +\infty, \theta_2 = 1$$

$$\theta_2 = \frac{T' - T_0'}{T_a' - T_0'}, \xi = x \frac{u_a}{\kappa}, \tau = t \frac{u_a^2}{\kappa}, v(\tau) = \frac{u(t)}{u_a}$$

где  $x$  — пространственная координата,  $t$  — время,  $T'$  — температура,  $T_0'$  — начальная температура вещества,  $T_a' = T_0' + Q/c$  — адиабатическая температура сгорания ( $Q$  — тепловой эффект,  $c$  — теплоемкость),  $\kappa$  — температуропроводность,  $u_a^2 = \kappa(RT_a'^2/E(T_a' - T_0'))k_0 \exp(-E/RT_a')$  — скорость распространения фронта экзотермической реакции, соответствующая стационарному решению ( $E$  — энергия активации,  $R$  — газовая постоянная,  $k_0$  — предэкспонент),  $u(t)$  — скорость движения фронта реакции в лабораторной системе координат. Функции  $\theta_1^\circ$  и  $\theta_2^\circ$  описывают начальное распределение температуры в каждой из областей. Температура в зоне реакции  $\vartheta(\tau) = (T'(t, 0) - T_0')/(T_a' - T_0')$  является неизвестной функцией и подлежит определению.

По аналогии с [7], где выведено интегральное уравнение для нестационарной скорости горения пороха, применим к (2.1), (2.2) преобразование Фурье, полагая для задачи (2.1)  $\theta = 0$  при  $\xi > 0$ , а для задачи (2.2) —  $\theta = 0$  при  $\xi < 0$ . Введем

$$(2.3) \quad F_1(k, \tau) = \int_{-\infty}^0 \theta_1(\tau, \xi) e^{-ik\xi} d\xi$$

$$(2.4) \quad F_2(k, \tau) = \int_0^{+\infty} [\theta_2(\tau, \xi) - 1] e^{-ik\xi} d\xi$$

Из (2.1) имеем

$$(2.5) \quad dF_1 / d\tau + (ikv + k^2)F_1 = \varphi_1 + (ik - v)\vartheta \quad (\varphi_1 = \partial\theta_1 / \partial\xi|_{\xi=0})$$

$$\tau = \tau_0, \quad F_1(k, \tau_0) = \int_{-\infty}^0 \theta_1^\circ(\xi) e^{-ik\xi} d\xi$$

Из (2.2) следует:

$$(2.6) \quad dF_2 / d\tau + (ikv + k^2)F_2 = -\varphi_2 + (ik - v)(1 - \vartheta)$$

$$(\varphi_2 = \partial\theta_2 / \partial\xi|_{\xi=0})$$

$$\tau = \tau_0, \quad F_2(k, \tau_0) = \int_0^\infty [\theta_2^\circ(\xi) - 1] e^{-ik\xi} d\xi$$

Решения дифференциальных уравнений (2.5), (2.6) с указанными начальными условиями имеют вид соответственно

$$(2.7) \quad F_1(k, \tau) = \int_{\tau_0}^\tau \{\varphi_1(\tau') + [ik - v(\tau')] \vartheta(\tau')\} \exp[-k^2(\tau - \tau') - ikI] \times$$

$$\times d\tau' + F_1(k, \tau_0) \exp[-k^2(\tau - \tau_0) - ikJ]$$

$$I = \int_{\tau'}^\tau v(\tau'') d\tau'' = \xi_*(\tau) - \xi_*(\tau')$$

$$(2.8) \quad F_2(k, \tau) = \int_{\tau_0}^\tau \{-\varphi_2(\tau') + [ik - v(\tau')] [1 - \vartheta(\tau')]\} \exp[-k^2(\tau - \tau') -$$

$$- ikI] d\tau' + F_2(k, \tau_0) \exp[-k^2(\tau - \tau_0) - ikJ], \quad J = \int_{\tau_0}^\tau v(\tau'') d\tau''$$

Здесь  $\xi_*(\tau)$  — координата фронта реакции в лабораторной системе координат в момент времени  $\tau$ . Применяя к (2.7) и (2.8) обратное преобразование

$$\theta_1(\xi, \tau) = \frac{1}{2\pi} \int_{-\infty}^\infty F_1(k, \tau) e^{ik\xi} dk$$

$$\theta_2(\xi, \tau) - 1 = \frac{1}{2\pi} \int_{-\infty}^{+\infty} F_2(k, \tau) e^{ik\xi} dk$$

и подставляя в получившиеся соотношения значение  $\xi = 0$ , получим соответственно

$$(2.9) \quad \vartheta(\tau) = \frac{1}{V\pi} \left\{ \int_{\tau_0}^\tau \left[ \varphi_1 - v\vartheta + \frac{\vartheta I}{2(\tau - \tau')} \right] \exp \left[ -\frac{I^2}{4(\tau - \tau')} \right] \times \right.$$

$$\times \frac{d\tau'}{V\tau - \tau'} + \frac{1}{V\tau - \tau_0} \int_{-\infty}^0 \theta_1^\circ(u) \exp \left[ -\frac{(u+J)^2}{4(\tau - \tau_0)} \right] du \left. \right\}$$

$$(2.10) \quad \vartheta(\tau) - 1 = \frac{1}{V\pi} \left\{ \int_{\tau_0}^\tau \left[ -\varphi_2 + v(\vartheta - 1) - \frac{(\vartheta - 1)I}{2(\tau - \tau')} \right] \times \right.$$

$$\times \exp \left[ -\frac{I^2}{4(\tau - \tau')} \right] \frac{d\tau'}{V\tau - \tau'} + \frac{1}{V\tau - \tau_0} \int_0^{+\infty} [\theta_2^\circ(u) - 1] \times$$

$$\times \exp \left[ -\frac{(u+J)^2}{4(\tau - \tau_0)} \right] du \left. \right\}$$

Поскольку ищется периодическое, не затухающее во времени решение, описывающее режим установившихся колебаний, следует в соотношениях (2.9), (2.10) перейти к пределу при  $\tau_0 \rightarrow -\infty$ . Тогда слагаемые в правых частях (2.9) и (2.10), описывающие влияние начальных условий, исчезают. Складывая получившиеся соотношения, получим

$$(2.11) \quad 2\vartheta - 1 = \frac{1}{\sqrt{\pi}} \int_{-\infty}^{\tau} \left[ \varphi_1(\tau') - \varphi_2(\tau') - v(\tau') + \frac{I}{2(\tau - \tau')} \right] \times \\ \times \exp \left[ -\frac{I^2}{4(\tau - \tau')} \right] \frac{d\tau'}{\sqrt{\tau - \tau'}}$$

Используем теперь связь потоков тепла, поступающих в зону реакции. Суммируя проинтегрированные по  $\xi$  уравнение теплопроводности, записанное с учетом тепловыделения, и уравнение потребления реагирующего вещества и устремляя к нулю ширину зоны химической реакции, получим

$$(2.12) \quad \varphi_1 - \varphi_2 = v - \lim_{\delta\xi \rightarrow 0} \int_{-\delta\xi}^{+\delta\xi} \frac{\partial}{\partial\tau} (\theta + a) d\xi$$

Здесь  $a$  — концентрация реагента,  $\delta\xi = \delta_x / (x/u_a)$  — безразмерная полуширина зоны химической реакции.

Для рассматриваемого в п. 3 режима горения, связанного с резкими изменениями температуры зоны химической реакции, интеграл в правой части (2.12) имеет максимальную величину во время «скачка» фронта реакции, равную по порядку отношению двух малых параметров  $\delta_x$  и  $\Delta_t = \Delta x / u_a^2$  ( $2\Delta$  — время сгорания очередной порции исходного вещества, см. фиг. 1), которое мало по сравнению с другими членами уравнения в силу оценки  $\delta_x / \Delta_t \ll h / \Delta_t = \bar{u}$  ( $\bar{u}$  — средняя скорость распространения фронта реакции на переходном участке). Подставляя с учетом этого замечания связь тепловых потоков (2.12) в (2.11) и используя (2.7), получим

$$(2.13) \quad 2\vartheta - 1 = \frac{1}{2\sqrt{\pi}} \int_{-\infty}^{\tau} \frac{[\xi_*(\tau) - \xi_*(\tau')]}{(\tau - \tau')^{3/2}} \exp \left\{ -\frac{[\xi_*(\tau) - \xi_*(\tau')]^2}{4(\tau - \tau')} \right\} d\tau'$$

Периодичность функции  $\vartheta(\tau)$ , определяемой из этого соотношения, следует из периодичности функции  $v(\tau)$ . Соотношение (2.13) показывает также, что безразмерная температура зоны химической реакции определяется только законом движения фронта реакции. В частности, когда фронт реакции распространяется с постоянной скоростью, т. е.  $\xi_*(\tau) = \tau$ , из (2.13) следует  $\vartheta = 1$ . Ниже рассмотрим режим релаксационных колебаний, сопровождающихся длительным прогревом инертного вещества, хотя интегральное соотношение (2.13) выведено только в предположении узости зоны химической реакции и поэтому справедливо для произвольного закона движения фронта реакции, описывающего режим горения на больших временах.

**3. Определение температуры воспламенения в случае распространения фронта химической реакции «скакками».** С помощью соотношения (2.13) определим температуру зоны химической реакции в момент воспламенения для режима горения, заключающегося в чередовании длительного прогрева некоторой части исходного вещества и относительно быстрого его сгорания. Зададим зависимость координаты фронта реакции от времени  $\xi_*(\tau)$ , отвечающую указанному режиму и графически

изображенную на фиг. 1 в виде

$$(3.1) \quad \begin{aligned} \xi_*(\tau) &= (i-1)h + \Phi_i(\Delta, \tau), (i-1)T \leq \tau \leq iT, i = -\infty, \dots, n \\ \Phi_i(\Delta, \tau) &= -\alpha h f_1^i(\Delta, \tau) + \beta h f_2^i(\Delta, \tau) \\ f_1^i(\Delta, \tau) &= f_1\left(\frac{\tau-(i-1)T}{\Delta}\right) \\ f_2^i(\Delta, \tau) &= f_2\left(\frac{iT-\tau}{\Delta}\right), \quad \alpha + \beta = 1, \quad \Delta \ll T \\ f_j(0) &= 1, f_j = 0 \text{ при } \tau \in [(i-1)T + \Delta, iT - \Delta] (j = 1, 2) \\ f_1'(0) &= f_2'(0) \end{aligned}$$

Введенная здесь в самом общем виде переходная функция  $\Phi_i(\Delta, \tau)$  описывает закон движения фронта реакции во время сгорания прогретой порции исходного вещества, сопровождающегося интенсивным тепловыделением. Функции  $f_1$  и  $f_2$  по своему физическому смыслу являются монотонными и непрерывными.

Подставим выражение для  $\xi_*(\tau)$  в интегральное соотношение (2.13) и определим температуру в зоне химической реакции во временном интервале  $(n-1)T + \Delta \leq \tau \leq nT - \Delta$ . Поскольку функция  $\xi_*(\tau')$  периодическая, интеграл в правой части (2.13) удобно заменить суммой интегралов, каждый из которых берется по периоду. Проводя вычисление каждого интеграла с точностью до малых порядка  $\Delta / T$ , с которой проводится весь дальнейший расчет, получим

$$(3.2) \quad \begin{aligned} 2\vartheta - 1 &= \sum_{i=-\infty}^{n-1} \left\{ \operatorname{erf} \left[ \frac{h(n-i)}{2\sqrt{\tau-iT}} \right] - \operatorname{erf} \left[ \frac{h(n-i)}{2\sqrt{\tau-(i-1)T}} \right] \right\} + \\ &+ \frac{1}{2\sqrt{\pi}} \int_{(n-1)T-\Delta}^{(n-1)T} \frac{h[1-\beta f_2^{n-1}(\Delta, \tau')]}{(\tau-\tau')^{3/2}} \exp \left\{ -\frac{h^2[1-\beta f_2^{n-1}(\Delta, \tau')]^2}{4(\tau-\tau')} \right\} \times \\ &\times d\tau' + \frac{1}{2\sqrt{\pi}} \int_{(n-1)T}^{(n-1)T+\Delta} \frac{\alpha h f_1^n(\Delta, \tau')}{(\tau-\tau')^{3/2}} \exp \left\{ -\frac{\alpha^2 h^2 [f_1^n(\Delta, \tau')]^2}{4(\tau-\tau')} \right\} d\tau' \end{aligned}$$

Для расчетов, проводящихся в п. 4, удобно вести отсчет времени от момента остановки фронта химической реакции, т. е. положить  $\bar{\tau} = \tau - (n-1)T - \Delta$ . Тогда зависимость (3.2) принимает вид

$$(3.3) \quad \begin{aligned} 2\vartheta - 1 &= \sum_{i=-\infty}^{n-1} \left\{ \operatorname{erf} \left[ \frac{h(n-i)}{2\sqrt{\bar{\tau}+(n-i-1)T}} \right] - \right. \\ &\left. - \operatorname{erf} \left[ \frac{h(n-i)}{2\sqrt{\bar{\tau}+(n-i)T}} \right] \right\} + \frac{1}{2\sqrt{\pi}} \int_{(n-1)T-\Delta}^{(n-1)T} \times \\ &\times \frac{h[1-\beta f_2^{n-1}(\Delta, \tau')]}{((n-1)T+\Delta+\bar{\tau}-\tau')^{3/2}} \exp \left\{ -\frac{h^2[1-\beta f_2^{n-1}(\Delta, \tau')]^2}{4((n-1)T+\Delta+\bar{\tau}-\tau')} \right\} d\tau' + \\ &+ \frac{1}{2\sqrt{\pi}} \int_{(n-1)T}^{(n-1)T+\Delta} \frac{\alpha h f_1^n(\Delta, \tau')}{((n-1)T+\Delta+\bar{\tau}-\tau')^{3/2}} \times \\ &\times \exp \left\{ -\frac{\alpha^2 h^2 [f_1^n(\Delta, \tau')]^2}{4((n-1)T+\Delta+\bar{\tau}-\tau')} \right\} d\tau' \end{aligned}$$

Заметим, что первое слагаемое в правой части (3.2), представляющее собой сходящийся ряд с положительными членами, возникает в результате интегрирования по отрезкам  $[(i-1)T + \Delta, iT - \Delta]$ . Можно по-

казать, что интегралы по переходным участкам  $[(i-1)T, (i-1)T + \Delta]$  и  $[iT - \Delta, iT]$  ( $i = \infty, \dots, n-1$ ) дают в величину  $\vartheta$  вклад порядка  $\Delta/T$ , за исключением интегралов по последнему переходному участку  $[(n-1)T - \Delta, (n-1)T + \Delta]$ , которые и записаны в правой части (3.2). Эти интегралы дают конечный вклад в величину  $\vartheta$ , зависящий от поведения сглаживающих функций  $f_1$  и  $f_2$ , только в самом начале периода остывания зоны химической реакции, когда  $\tau - (n-1)T \sim \Delta$ . Для времен  $\tau - (n-1)T \gg \Delta$  величина интегралов в правой части (3.2) имеет порядок  $\Delta/T$ , и зависимость температуры в зоне реакции от времени с точностью до малых порядка  $\Delta/T$  имеет вид

$$(3.4) \quad 2\vartheta - 1 = \sum_{i=-\infty}^{n-1} \left\{ \operatorname{erf} \left[ \frac{h(n-i)}{2\sqrt{\tau - iT}} \right] - \operatorname{erf} \left[ \frac{h(n-i)}{2\sqrt{\tau - (i-1)T}} \right] \right\}$$

Таким образом, функция  $\vartheta$  резко падает в начале периода (на временах порядка  $\Delta$ ) от некоторого значения превышающего адиабатическую температуру горения (величина превышения зависит от закона движения фронта реакции на переходном участке), до меньшей величины, а затем плавно меняется в соответствии с (3.4). Такое поведение функции  $\vartheta(\tau)$  объясняется тем, что после сгорания очередной порции исходного вещества температура в зоне реакции сильно повышается, а потоки тепла в зону продуктов реакции и в зону исходного вещества становятся очень большими, что и приводит к резкому снижению температуры.

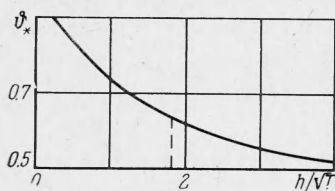
Подставляя величину  $\tau = nT - \Delta$  в (3.4), получим температуру в зоне реакции  $\vartheta_*$ , при которой происходит воспламенение

$$(3.5) \quad 2\vartheta_* - 1 = \sum_{i=-\infty}^{n-1} \left\{ \operatorname{erf} \left[ \frac{h}{2\sqrt{T}} \sqrt{n-i} \right] - \operatorname{erf} \left[ \frac{h}{2\sqrt{T}} \sqrt{\frac{n-i}{n-i+1}} \right] \right\}$$

Зависимость температуры воспламенения от параметра  $h/\sqrt{T}$  представлена на фиг. 2. Эта кривая является универсальной, так как  $\vartheta_*$  не зависит от других параметров задачи.

**4. Дополнительные соотношения, определяющие размер скачков и период пульсаций.** После воспламенения и быстрого сгорания очередной порции исходного вещества фронт реакции останавливается, а температура в зоне химического превращения значительно возрастает. При этом резко возрастает отток тепла в область исходного вещества, что приводит к ее прогреву за счет тепла, поступающего из зоны продуктов реакции. Как только прогретый слой в непрореагированном веществе становится достаточно большим, происходит воспламенение.

Чтобы задать условие воспламенения, воспользуемся представлениями теории зажигания горючего вещества накаленной поверхностью, разработанной Я. Б. Зельдовичем [8, 9]. В начале периода остывания зоны химической реакции, когда градиент температуры при  $\xi = 0$  очень крутой, можно пренебречь теплом, выделяющимся в зоне реакции, по сравнению с теплом, отводящимся в глубь исходного вещества, и рассчитать его прогрев как прогрев инертного вещества с заданной на границе температурой, меняющейся со временем согласно зависимости (3.3). С течением времени теплоотвод в область  $\xi < 0$  уменьшается, а толщина



Фиг. 2

реагирующего слоя увеличивается так что тепло, выделяющееся в зоне реакции, становится сравнимым с теплом, отводящимся в исходное вещество. Следуя [9], зададим условие воспламенения (достижения температуры воспламенения) как равенство критическому значению  $\varphi_*$  теплового потока  $\varphi_1$  из зоны реакции в область  $\xi < 0$ . Поток  $\varphi_*$  соответствует наименьшему тепловому потоку, при котором еще существует стационарное распределение температуры в реагирующем слое вещества. Итак, условие воспламенения имеет вид

$$(4.1) \quad \varphi_1 = l\varphi_* = lV^2 \frac{\varepsilon + \vartheta_*}{\varepsilon + 1} \exp \frac{\vartheta_* - 1}{2\gamma(\vartheta_* + \varepsilon)} \quad \left( \varepsilon = \frac{cT_0}{Q}, \gamma = \frac{RT_a}{E} \right)$$

В (4.1) введен дополнительно поправочный коэффициент  $l$ , который имеет величину порядка единицы и может быть выбран из сравнения результатов теории с экспериментальными данными или результатами расчетов на ЭВМ в целях более точного описания явления при его отклонении от идеальной схемы, рассматриваемой в работе.

Для определения, потока тепла в глубь исходного вещества в пренебрежении тепловыделением в зоне химической реакции следует решить задачу теплопроводности:

$$(4.2) \quad \begin{aligned} \partial\theta / \partial\bar{\tau} &= \partial^2\theta / \partial\xi^2 \\ \bar{\tau} = 0, \theta = \theta_0(\xi), \xi &= 0, \theta = \vartheta(\bar{\tau}), \xi = -\infty, \theta = 0 \end{aligned}$$

Здесь  $\theta_0(\xi)$  — распределение температуры в исходном веществе в момент остановки фронта реакции. Решение (4.2) имеет вид

$$(4.3) \quad \begin{aligned} \theta(\xi, \bar{\tau}) &= \frac{2}{V\bar{\tau}} \int_{-\xi/2V\bar{\tau}}^{+\infty} \vartheta\left(\bar{\tau} - \frac{|\xi|^2}{4r^2}\right) e^{-r^2} dr + \\ &+ \frac{1}{2V\bar{\tau}} \int_0^\infty \theta_0(y) \left[ \exp\left(-\frac{(\xi+y)^2}{4\bar{\tau}}\right) - \exp\left(-\frac{(\xi-y)^2}{4\bar{\tau}}\right) \right] dy \end{aligned}$$

Вычисляя отсюда тепловой поток из зоны реакции в момент воспламенения, получим

$$(4.4) \quad \begin{aligned} \varphi_1 &= \frac{\partial\theta}{\partial\xi}(0, T) = \frac{1}{V\bar{T}} \left\{ \frac{\vartheta(0)}{V\bar{T}} - \lim_{\xi \rightarrow 0} \xi \int_{-\xi/2V\bar{T}}^{+\infty} \vartheta' \frac{e^{-r^2}}{r^2} dr - \right. \\ &\quad \left. - \frac{1}{2V\bar{T}} \int_0^\infty y \exp\left(-\frac{y^2}{4\bar{T}}\right) \theta_0(y) dy \right\} \end{aligned}$$

Как показывают численные расчеты [1, 2], начальное распределение  $\theta_0(\xi)$  таково, что толщина прогретого слоя в начальный момент мала по сравнению с толщиной слоя, прогреваемого к моменту воспламенения. Это позволяет пренебречь последним слагаемым в правой части (4.4), которое описывает влияние начального распределения температуры. Подставим теперь выражение для  $\vartheta(\bar{\tau})$  из (3.3) в (4.4) и вычислим тепловой поток  $\varphi_1$  с точностью до малых порядка  $\Delta/T$ , имея в виду, что вклад в величину  $\varphi_1$  от интегралов в правой части (3.3), описывающих влияние переходного участка, в силу их быстрого затухания (на временах по-

рядка  $\Delta$ ) пренебрежимо мал. В результате получим

$$(4.5) \quad \varphi_1 = \frac{1}{2\sqrt{\pi T}} [1 + g(z)] \quad (z = h/2\sqrt{T})$$

$$g(z) = \sum_{i=-\infty}^{n-1} \left\{ \operatorname{erf} \left( \frac{z(n-i)}{\sqrt{n-i+1}} \right) - \operatorname{erf} (z\sqrt{n-i}) + \right.$$

$$+ \frac{1}{\sqrt{n-i+1}} \exp \left( -\frac{z^2(n-i)^2}{(n-i+1)} \right) \operatorname{erf} \left( z\sqrt{\frac{n-i}{n-i+1}} \right) -$$

$$\left. - \frac{1}{\sqrt{n-i}} \exp (-z^2(n-i)) \operatorname{erf} \left( z\sqrt{\frac{n-i}{n-i-1}} \right) \right\}$$

Подставляя теперь  $\varphi_1$  из (4.5) в (4.1), получим условие воспламенения в виде

$$(4.6) \quad \frac{1}{2\sqrt{\pi T}} \left[ 1 + g \left( \frac{h}{2\sqrt{T}} \right) \right] = l\sqrt{2} \frac{\varepsilon + \vartheta_*}{\varepsilon + 1} \exp \frac{\vartheta_* - 1}{2\gamma(\varepsilon + \vartheta_*)}$$

Заметим, что условие воспламенения  $\varphi_1 = \varphi_*$  используется в теории зажигания вещества накаленной поверхностью, на которой поддерживается постоянная температура. В рассматриваемой здесь задаче воспламенения функция  $\vartheta(\bar{T})$ , описывающая закон изменения температуры во времени на поверхности воспламеняющего вещества, резко меняется от некоторого значения при  $\bar{T} = 0$ , превышающего адиабатическую температуру горения, до значительно меньшего значения за время порядка  $\Delta$ , а затем изменяется более медленно (близка к постоянной) в соответствии с поведением ряда в правой части (3.3), который зависит от комбинации  $h/\sqrt{T}$ . В силу этого обстоятельства можно с хорошей точностью применять условие (4.1).

Величину  $h$ , на которую перемещается фронт реакции при каждом своем передвижении, можно приближенно определить по известному в момент воспламенения градиенту температуры вблизи зоны реакции, т. е.

$$(4.7) \quad h = m \frac{\vartheta_*}{\varphi_*} = m \frac{\vartheta_*}{\sqrt{2}} \frac{\varepsilon + 1}{\varepsilon + \vartheta_*} \exp \frac{1 - \vartheta_*}{2\gamma(\varepsilon + \vartheta_*)}$$

Здесь  $m$  — поправочный коэффициент порядка единицы. Заметим, что поправочные коэффициенты типа введенных в формулы (4.1) и (4.7) обычно используются в приближенной теории зажигания (см., например, [9, 10]) для лучшего количественного совпадения данных физических или численных экспериментов с теоретическими зависимостями, которые хорошо передают все качественные закономерности.

**5. Последовательность расчета.** Сравнение результатов с данными по численному решению задачи на ЭВМ. Для определения величин  $h$  и  $T$  следует разрешить относительно этих величин соотношения (3.5), (4.6), (4.7). Удобно поступить следующим образом. Перемножив правые и левые части уравнений (4.6) и (4.7) получим (далее весь расчет проводится для  $l = m = 1$ )

$$(5.1) \quad \frac{h}{\sqrt{T}} [1 + g(h/2\sqrt{T})] = 2\sqrt{\pi}\vartheta_*(h/\sqrt{T})$$

Графики левой (кривая 1) и правой (кривая 2) частей уравнения (5.1) представлены на фиг. 3. Точка пересечения кривых определяет искомое значение  $h/\sqrt{T} = 1.89$  (если коэффициенты  $l$  и  $m$  отличны от единицы, величина отношения  $h/\sqrt{T}$ , естественно, меняется). Теперь из фиг. 2

можно определить температуру воспламенения  $\hat{\vartheta}_* = 0.625$ . Заметим, что указанные значения величин  $h / \sqrt{T}$  и  $\hat{\vartheta}_*$  универсальны для всех режимов (при  $l = m = 1$ ), соответствующих распространению фронта химической реакции «скачками». Таким образом, весь расчет сводится к определению величины  $h$  по формуле (4.7) при заданных значениях параметров  $\varepsilon$ ,  $\gamma$  и при  $\hat{\vartheta}_* = 0.625$  и последующему вычислению периода пульсаций (5.2)  $T = (h / 1.89)^2$

и средней скорости распространения фронта химической реакции  $\omega = h/T$ .

Отметим, что температура воспламенения  $\hat{\vartheta}_* = 0.625$  не сильно отличается от значения  $\hat{\vartheta}_* = 0.5$ , которое получается при решении автомодельной задачи о распаде тепловой ступеньки ( $\theta_1(\xi, 0) = 0$ ,  $\theta_2(\xi, 0) = 1$ ). Однако имеющееся различие, обусловленное влиянием всех предыдущих циклов колебаний, очень существенно при определении критических условий воспламенения. Если проводить вычисления по формулам (4.7), (5.2), используя  $\hat{\vartheta}_* = 0.5$ , то результаты будут на несколько порядков отличаться от величин, получаемых с помощью расчетов на ЭВМ.

Проведем сравнение с выполненными в работе [2] численными расчетами, результаты которых представлены на фиг. 1 в безразмерных переменных, принятых в этой работе,  $\xi_*' = xu_a' / \kappa$ ,  $\tau' = tu_a'^2 / \kappa$  ( $u_a'$  — стационарная скорость распространения фронта реакции на границе устойчивости, соответствующей  $\gamma = 0.1619$ ).

Для режима 1 (кривая 1), отвечающего  $\gamma = 0.0952$ ,  $\varepsilon = 0.05$ , находим  $h' = h(u_a'/u_a) = 180$ ,  $T' = T(u_a'/u_a)^2 = 4600$ ,  $\omega' = \omega(u_a/u_a') = 0.039$ . С другой стороны, из формул (4.7), (5.2) следует  $h' = 145$ ,  $T' = 5810$  и  $\omega' = 0.025$ . Для режима 2 (кривая 2), соответствующего  $\gamma = 0.1048$ ,  $\varepsilon = 0.05$ , численный расчет дает  $h' = 125$ ,  $T' = 1450$ ,  $\omega' = 0.086$ , а вычисления по формулам (4.7) и (5.2) —  $h' = 64$ ,  $T' = 1150$  и  $\omega' = 0.056$ .

Таким образом, наши вычисления показывают, что при уменьшении параметра  $\gamma$  (увеличении энергии активации) период пульсаций скорости горения и величина перемещения фронта реакции за время одного колебания увеличиваются, а средняя скорость уменьшается.

Приведенное выше сравнение с результатами численных расчетов свидетельствует о том, что предлагаемая в работе модель пульсирующего горения конденсированных систем качественно правильно передает основные черты процесса и удовлетворительно согласуется количественно с результатами расчетов на ЭВМ.

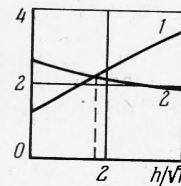
В заключение заметим, что иные схемы релаксационных колебаний скорости горения бездымных порохов рассматривались в работах [11, 12].

Авторы благодарят А. П. Алдушина, А. Г. Мержанова, Б. И. Хайкина, К. Г. Шкадинского за полезные обсуждения и предоставление подробных данных по численным расчетам, а также В. И. Лисицына за помощь в работе.

Поступила 19 II 1974

#### ЛИТЕРАТУРА

1. Шкадинский К. Г., Хайкин Б. И., Мержанов А. Г. Распространение пульсирующего фронта экзотермической реакции в конденсированной фазе. Физика горения и взрыва, 1971, т. 7, № 1.
2. Алдушин А. П., Мартемьянова Т. М., Мержанов А. Г., Хайкин Б. И., Шкадинский К. Г. Автоколебательное распространение фронта горения в гетерогенных конденсированных средах. Физика горения и взрыва, 1973, т. 9, № 5.



Фиг. 3

3. Мержанов А. Г., Филоненко А. К., Боровинская И. П. Новые явления при горении конденсированных систем. Докл. АН СССР, 1973, т. 208, № 4.
4. Максимов Э. М., Шкадинский К. Г. Об устойчивости стационарного горения безгазовых составов. Физика горения и взрыва, 1971, т. 7, № 3.
5. Махвиладзе Г. М., Новожилов Б. В. Двумерная устойчивость горения конденсированных систем. В сб. «Тепло- и массоперенос», т. 2. Минск, 1972.
6. Либрович В. Б., Махвиладзе Г. М. О релаксационных колебаниях скорости распространения фронта химической реакции в конденсированной среде. Тезисы докл. Всес. конф. Процессы горения в химической технологии и металлургии. Черноголовка, 1973.
7. Новожилов Б. В. Уравнение для нестационарной скорости горения пороха. ПМТФ, 1970, № 4.
8. Зельдович Я. Б. Теория зажигания накаленной поверхностью. ЖЭТФ, 1939, т. 9, вып. 12.
9. Зельдович Я. Б. К теории зажигания. Докл. АН СССР, 1963, т. 150, № 2.
10. Вилюнов В. Н. К тепловой теории зажигания. Физика горения и взрыва, 1966, т. 2, № 2.
11. Фур З. И. О механизме распространения горения в бездымном порохе. Инж.-физ., 1963, № 12.
12. Huffington I. D. The unsteady burning of cordite. Trans. Faraday Soc., 1954, vol. 50, pp. 942—952.